

vector likeクォークに対するB中間子稀崩壊からの制限

(Work in progress)

広島大学 高橋 隼也

共同研究者：

広島大学 両角 卓也

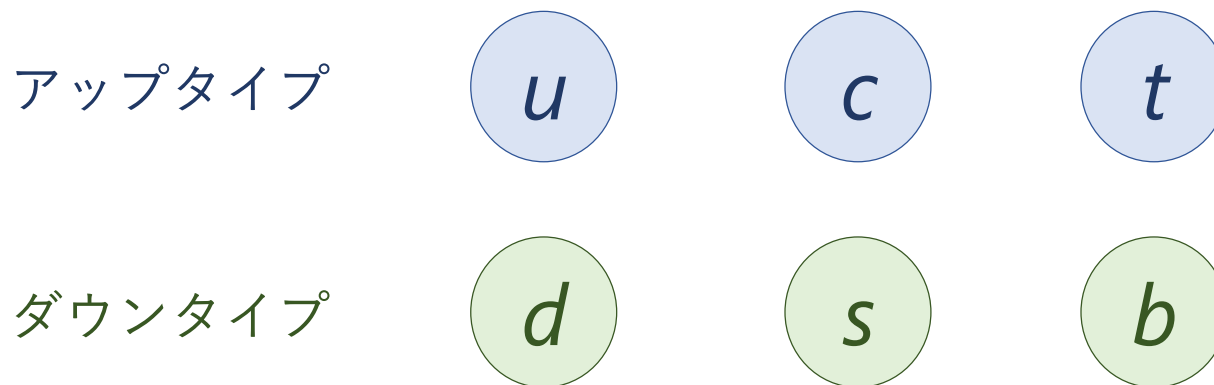
清水 勇介

島根大学 梅枝 宏之

導入

◆ 標準模型(SM)のクォーク

- 標準模型は6種類のクォークの存在を仮定



⇒ 更にクォークが存在する可能性は...?



Vector like クォーク (VLQ)

導入

◆ Vector like クォーク (VLQ)

- 標準模型のクォークとの違い
⇒ 左巻きと右巻きが同じ表現に属する.

SMクォーク

$$\begin{pmatrix} u \\ d \end{pmatrix}_L \quad u_R \quad d_R$$



SU(2) 一重項VLQ

$$\begin{matrix} U_L & U_R \\ D_L & D_R \end{matrix}$$

SU(2) 二重項VLQ

$$\begin{pmatrix} U \\ D \end{pmatrix}_L \quad \begin{pmatrix} U \\ D \end{pmatrix}_R$$

導入

◆ Vector like クォーク (VLQ)

- 標準模型のクォークとの違い
⇒ 左巻きと右巻きが同じ表現に属する.

SMクォーク

$$\begin{pmatrix} u \\ d \end{pmatrix}_L \quad u_R \quad d_R \quad \longleftrightarrow$$

SU(2) 一重項VLQ

$$\begin{matrix} U_L & U_R \\ D_L & D_R \end{matrix}$$

SU(2) 二重項VLQ

$$\begin{pmatrix} U \\ D \end{pmatrix}_L \quad \begin{pmatrix} U \\ D \end{pmatrix}_R$$

- 今回はSU(2) 一重項のダウンタイプVLQについて解析.

導入

- ◆ VLQを加えることで、ツリーレベルのフレーバーを変える中性カレント(FCNC)が生じる.

⇒ **B**中間子稀崩壊からの制限

- ◆ LHCにおける直接探索 (ダウンタイプVLQ)

⇒ $M_{VLQ} > 575 \sim 813 \text{ GeV}$

[ATLAS Collaboration 2015]

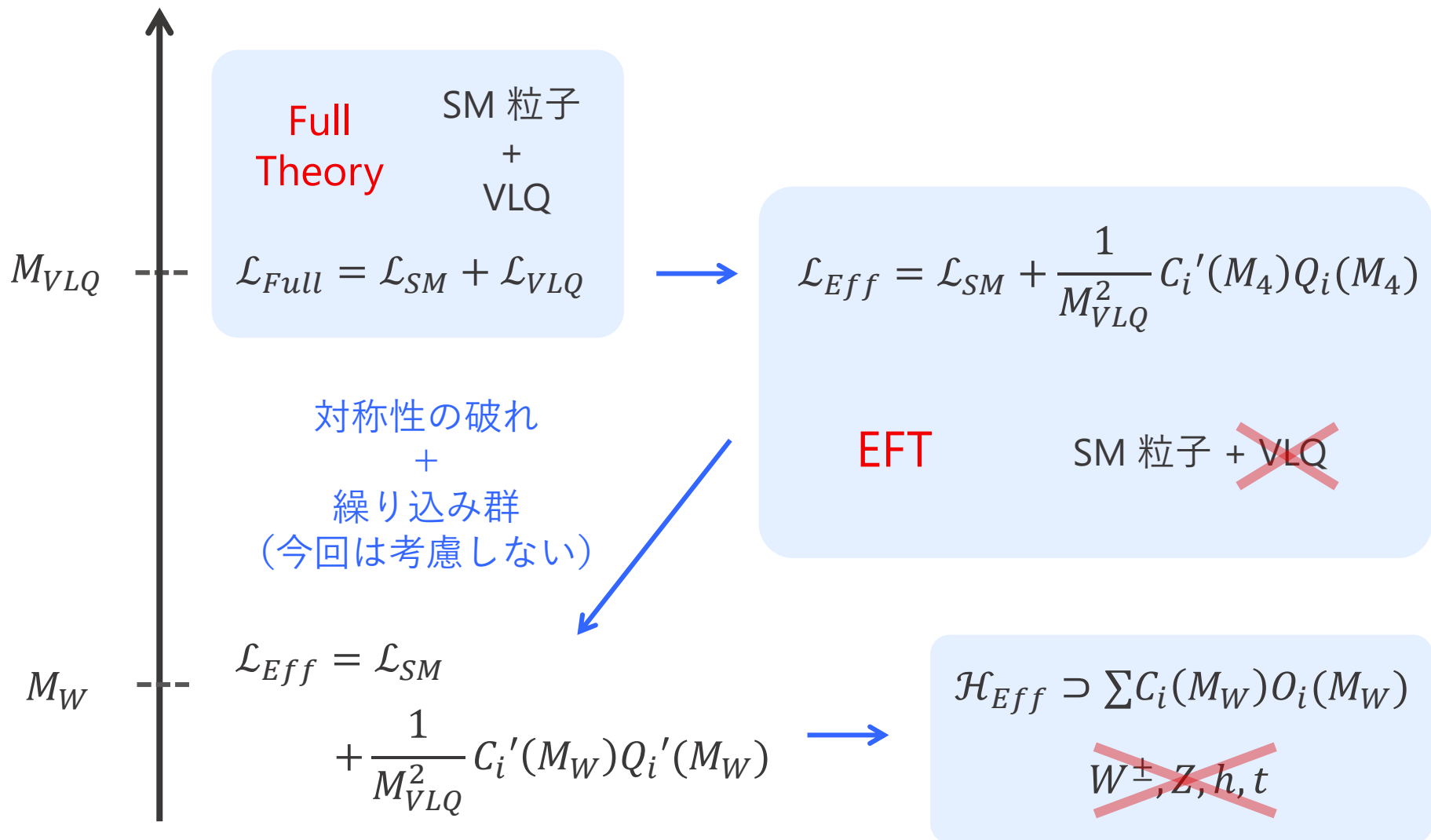
- ◆ 重い粒子の効果の解析 → 低エネルギー有効理論

導入

- ◆ VLQを含む模型についての有効理論の構築,
- ◆ 有効理論を用いて, B中間子稀崩壊からのVLQの
パラメーターへの制限を示すこと,
を目的とする.

エネルギー
スケール

◆ 有効理論の構築の流れ



概要

◆ 導入

◆ 有効理論の構築

- $\mu \sim M_{VLQ} \equiv M_4$

- $\mu \sim M_W$

◆ B中間子稀崩壊

$\bar{B} \rightarrow X_s \gamma$ ($b \rightarrow s\gamma$), ($B_s \rightarrow \mu^+ \mu^-$ ($\bar{b}s \rightarrow ll$), ユニタリテイの関係)

◆ まとめと展望

模型

- ◆ SMに一つのダウンタイプ VLQ ($d_{L,R}^4$)を加えた模型

$$\left\{ \begin{array}{l} d_{L,R}^4 : (3, 1)_{-2/3} , \\ \text{質量} : M_4 \end{array} \right.$$



SMの右巻きdクォークと同じ量子数

- ◆ SMの対称性の下でのラグランジアン
($SU(3)_c \times SU(2) \times U(1)_Y$)

$$\mathcal{L}_{\text{Full}} = \mathcal{L}_{\text{SM}} - [y_d^{i4} \bar{q}_L^i \phi d_R^4 + M_4 \bar{d}_L^4 d_R^4 + \text{h.c.}] + \bar{d}_L^4 i \not{D}_R^d d_L^4 + \bar{d}_R^4 i \not{D}_R^d d_R^4$$

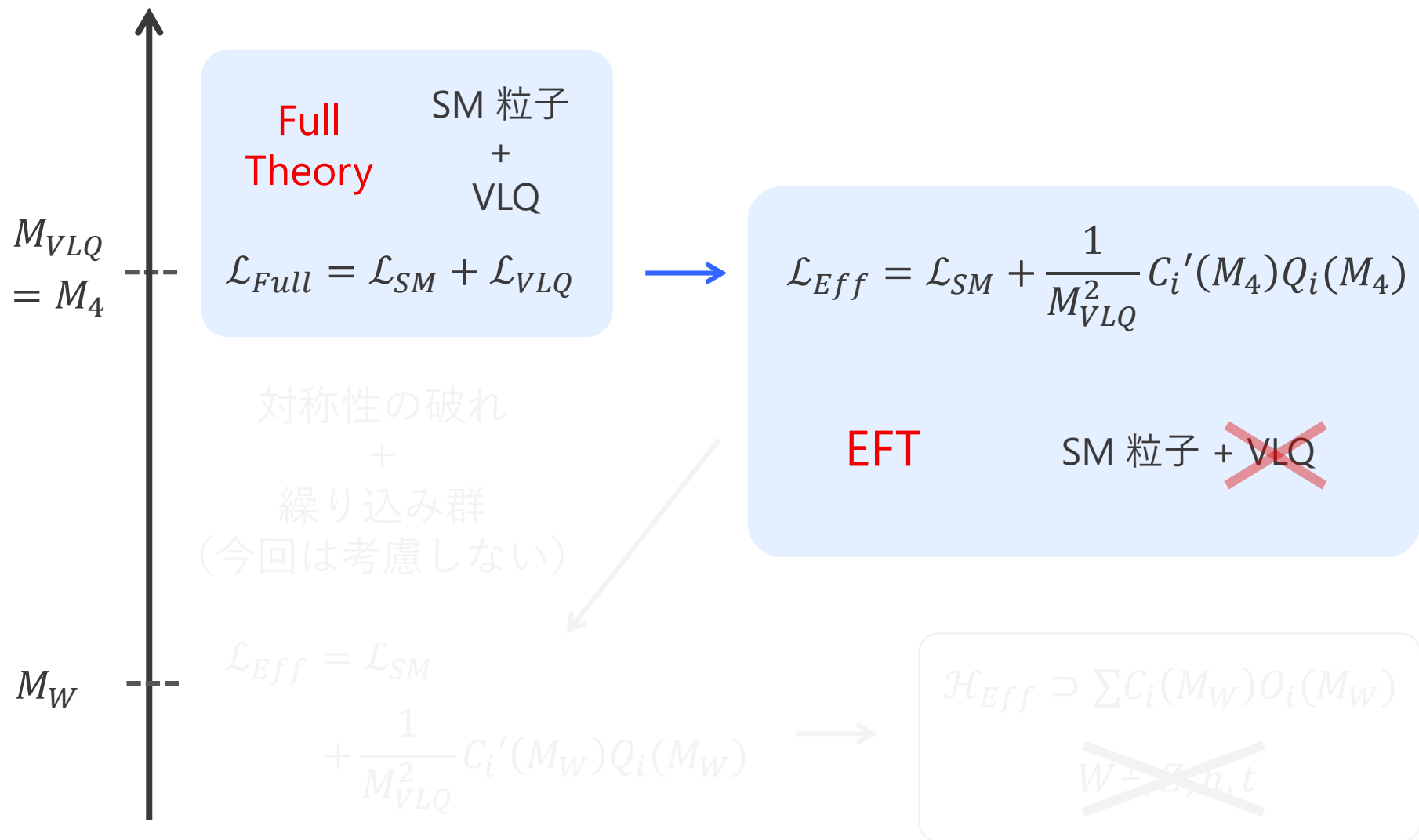
$$\text{共変微分} : D_{R\mu}^d = \partial_\mu + ig' \frac{Y_{dR}}{2} B_\mu + ig_s \frac{\lambda^a}{2} G_\mu^a$$

q_L^i : SMクォーク二重項

ϕ : SMヒッグス二重項

エネルギー
スケール

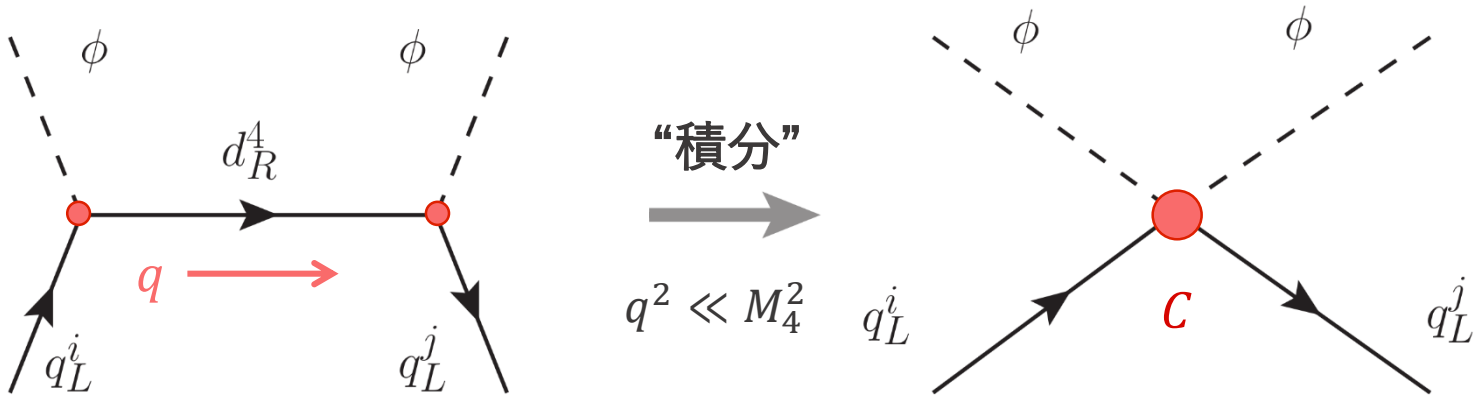
◆ 有効理論の構築の流れ



有効理論の導出 ($\mu \sim M_4$)

◆ Tree Levelの有効演算子

VLQの質量スケールでVLQを積分する。



$$\longrightarrow C = i \frac{y_d^{j4} y_d^{i4*}}{M_4^2}$$

$$\longrightarrow \mathcal{L}_{\text{Eff}} = \mathcal{L}_{\text{SM}} + i \frac{y_d^{j4} y_d^{i4*}}{M_4^2} \left(\bar{q}_L^i \phi \right) \not{D}_R^d \left(\phi^\dagger q_L^j \right) \quad (i, j = 1, 2, 3)$$

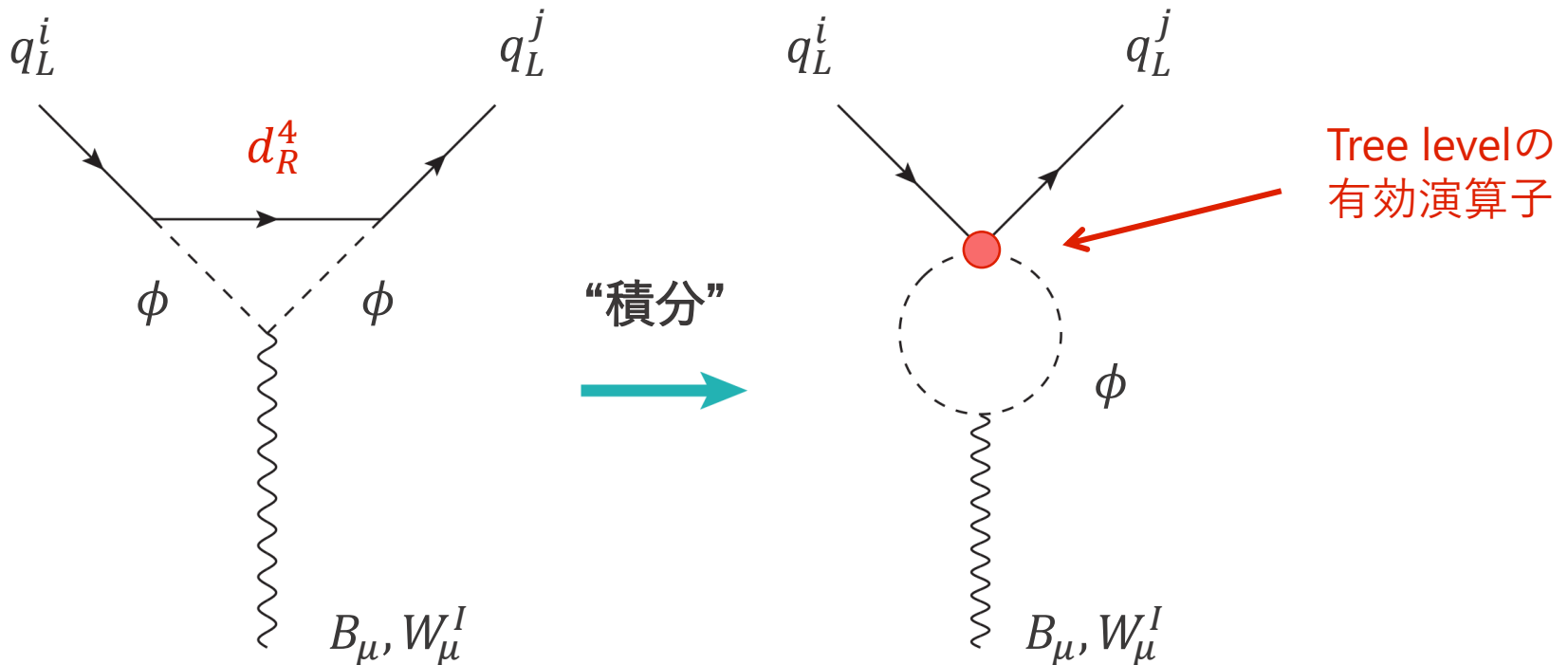
∂_μ の項

有効理論の導出 ($\mu \sim M_4$)

◆ 1-loop ダイアグラムにおけるVLQの積分

$b \rightarrow s\gamma$ への寄与は1-loopがLO \Rightarrow 1-loop levelの有効演算子を導出

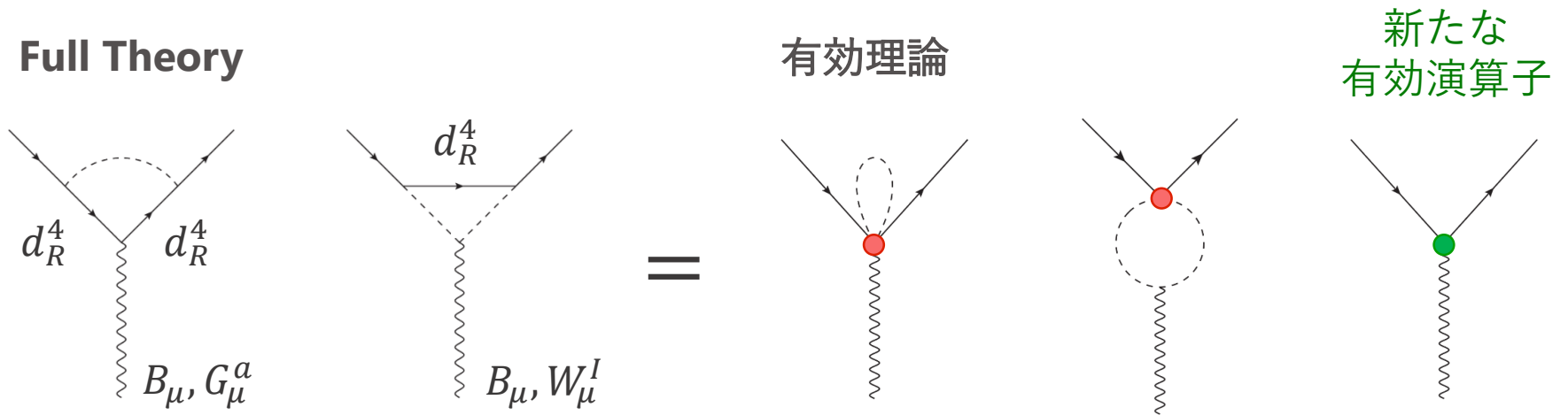
(例)



有効理論の導出 ($\mu \sim M_4$)

◆ 1-loop Levelの有効演算子

Full Theoryと有効理論で振幅が一致するように演算子を導入



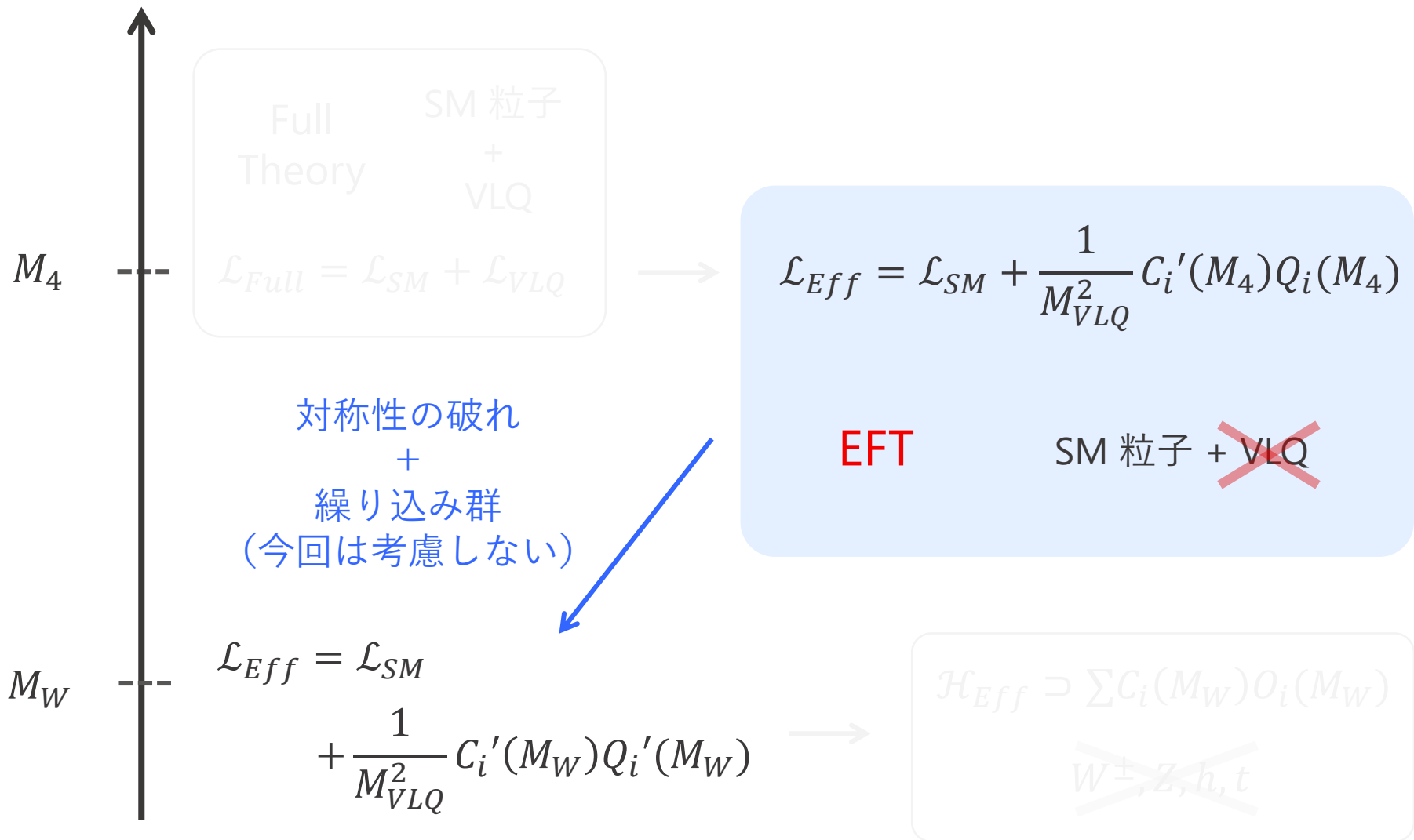
◆ 得られた演算子をbroken phaseのものに書き換える。

$$(SU(3)_c \times U(1)_{em})$$

- ・ 真空期待値を入れる
- ・ クォークの質量行列の対角化

$$\phi = \begin{pmatrix} \chi^+ \\ (v + h + i\chi_0)/\sqrt{2} \end{pmatrix}$$

エネルギー
スケール



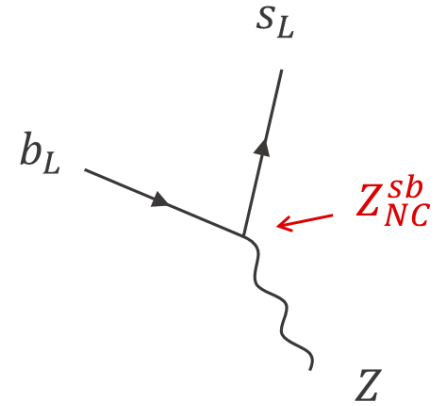
◆ 有効理論の構築の流れ

有効理論の導出 (Broken-Phase)

◆ Tree level の有効演算子から

$$\frac{g}{2 \cos \theta_w} (\bar{d}_L, \bar{s}_L, \bar{b}_L) \gamma^\mu \begin{pmatrix} Z_{NC}^{dd} & Z_{NC}^{ds} & Z_{NC}^{db} \\ Z_{NC}^{sd} & Z_{NC}^{ss} & Z_{NC}^{sb} \\ Z_{NC}^{bd} & Z_{NC}^{bs} & Z_{NC}^{bb} \end{pmatrix} \begin{pmatrix} d_L \\ s_L \\ b_L \end{pmatrix} Z_\mu$$

⇒ Z, h, χ_0 に Tree level の FCNC が
生じる.



$$Z_{NC}^{sb} = -\frac{v^2}{2} \cdot \frac{y_d^{s4} y_d^{b4*}}{M_4^2}$$

有効理論の導出 (Broken-Phase)

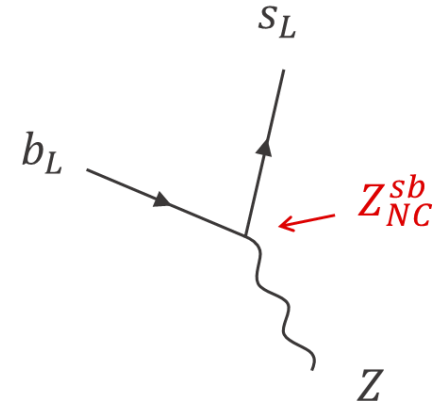
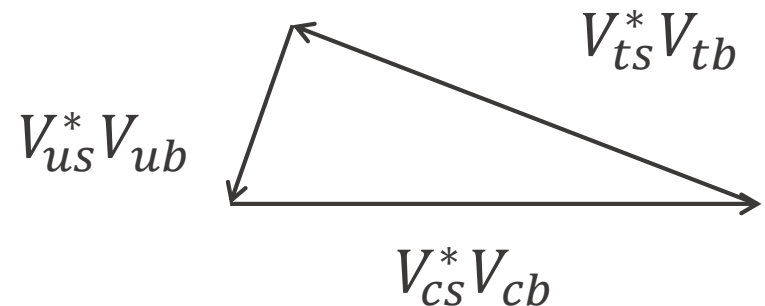
◆ Tree level の有効演算子から

$$\frac{g}{2 \cos \theta_w} (\bar{d}_L, \bar{s}_L, \bar{b}_L) \gamma^\mu \begin{pmatrix} Z_{NC}^{dd} & Z_{NC}^{ds} & Z_{NC}^{db} \\ Z_{NC}^{sd} & Z_{NC}^{ss} & Z_{NC}^{sb} \\ Z_{NC}^{bd} & Z_{NC}^{bs} & Z_{NC}^{bb} \end{pmatrix} \begin{pmatrix} d_L \\ s_L \\ b_L \end{pmatrix} Z_\mu$$

⇒ Z, h, χ_0 に Tree level の FCNC が生じる。

◆ ユニタリティ三角形 (SM)

$$V_{us}^* V_{ub} + V_{cs}^* V_{cb} + V_{ts}^* V_{tb} = 0$$



$$Z_{NC}^{sb} = -\frac{v^2}{2} \cdot \frac{y_d^{s4} y_d^{b4*}}{M_4^2}$$

有効理論の導出 (Broken-Phase)

◆ Tree level の有効演算子から

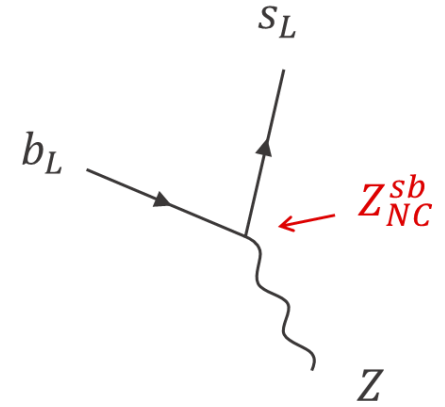
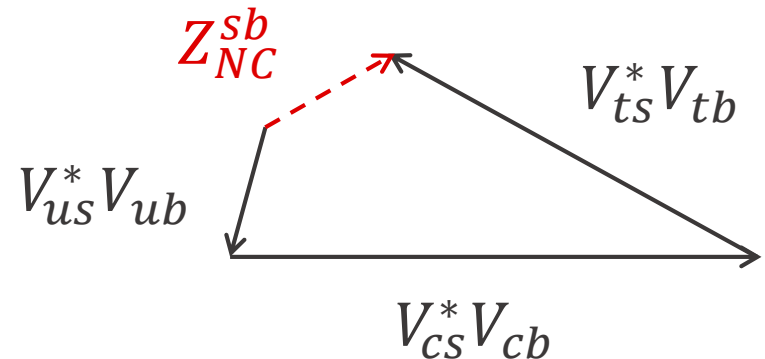
$$\frac{g}{2 \cos \theta_w} (\bar{d}_L, \bar{s}_L, \bar{b}_L) \gamma^\mu \begin{pmatrix} Z_{NC}^{dd} & Z_{NC}^{ds} & Z_{NC}^{db} \\ Z_{NC}^{sd} & Z_{NC}^{ss} & Z_{NC}^{sb} \\ Z_{NC}^{bd} & Z_{NC}^{bs} & Z_{NC}^{bb} \end{pmatrix} \begin{pmatrix} d_L \\ s_L \\ b_L \end{pmatrix} Z_\mu$$

⇒ Z, h, χ_0 に Tree level の FCNC が生じる。

◆ ユニタリティ三角形

$$V_{us}^* V_{ub} + V_{cs}^* V_{cb} + V_{ts}^* V_{tb} \simeq Z_{NC}^{sb}$$

⇒ FCNC 結合分だけ閉じない。



$$Z_{NC}^{sb} = -\frac{v^2}{2} \cdot \frac{y_d^{s4} y_d^{b4*}}{M_4^2}$$

有効理論の導出 (Broken-Phase)

◆ 1-loop level の有効演算子

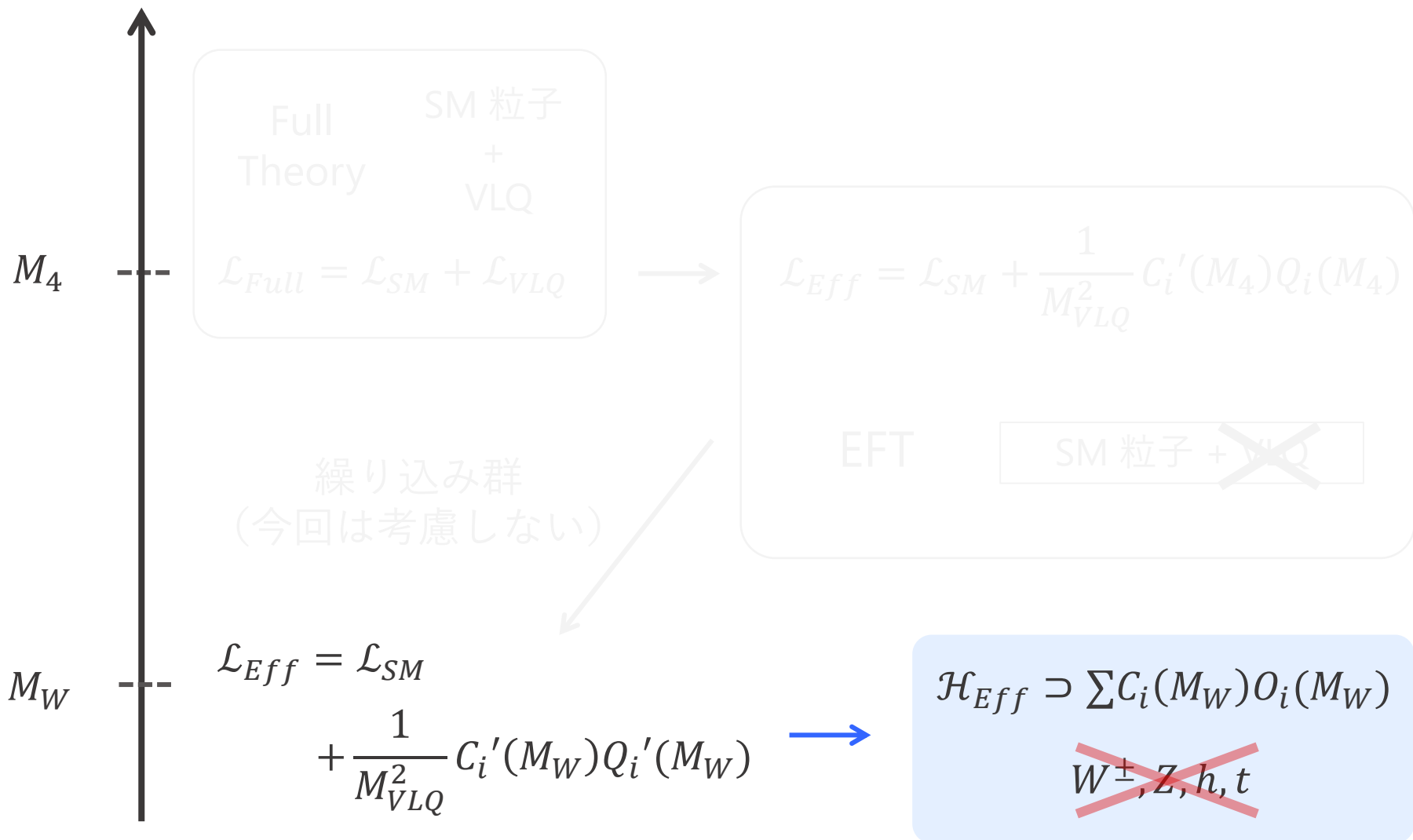
$$\mathcal{L}_{\text{dipole}}^A = \frac{eG_F}{16\pi^2} \cdot \frac{Q_d}{6\sqrt{2}} Z_{NC}^{sb} \cdot m_b \bar{s}_L \sigma_{\mu\nu} b_R F_A^{\mu\nu}$$

$$\mathcal{L}_{\text{dipole}}^G = \frac{g_s G_F}{16\pi^2} \cdot \frac{1}{6\sqrt{2}} Z_{NC}^{sb} \cdot m_b \bar{s}_L \frac{\lambda^a}{2} \sigma_{\mu\nu} b_R F_G^{a\mu\nu}$$

→ Full Theoryの計算の結果と無矛盾

[L.T.Handoko, T.Morozumi 1995]

エネルギー
スケール



◆ 有効理論の構築の流れ

Effective Hamiltonian ($b \rightarrow s\gamma$)

$$\mathcal{H}_{eff}(b \rightarrow s\gamma) = -\frac{G_F}{\sqrt{2}} V_{tb} V_{ts}^* [C_{7\gamma}(\mu) \mathcal{O}_{7\gamma}(\mu) + C_{8G}(\mu) \mathcal{O}_{8G}(\mu) + \dots]$$

$$\mathcal{O}_{7\gamma} = \frac{e}{8\pi^2} m_b \bar{s} \sigma_{\mu\nu} (1 + \gamma_5) b F_A^{\mu\nu} \quad \mathcal{O}_{8G} = \frac{g_s}{8\pi^2} m_b \bar{s} \frac{\lambda^a}{2} \sigma_{\mu\nu} (1 + \gamma_5) b F_G^{\mu\nu}$$

[A.J.Buras et al. 1993]

◆ One-loopの有効演算子からの寄与

$$\mathcal{L}_{\text{dipole}}^A = \frac{eG_F}{16\pi^2} \cdot \frac{Q_d}{6\sqrt{2}} Z_{NC}^{sb} \cdot m_b \bar{s}_L \sigma_{\mu\nu} b_R F_A^{\mu\nu}$$

$$C_{7\gamma}^{NP1}(M_W) = \frac{Q_d}{24} \cdot \frac{Z_{NC}^{sb}}{V_{tb} V_{ts}^*}$$

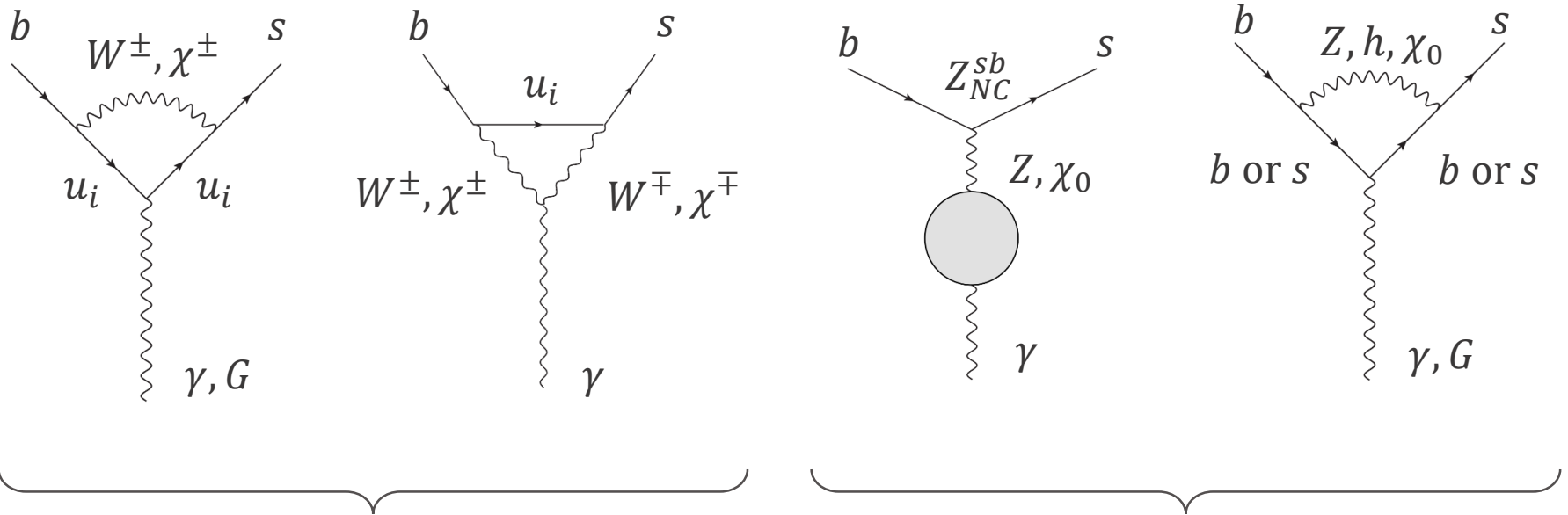


$$\mathcal{L}_{\text{dipole}}^G = \frac{g_s G_F}{16\pi^2} \cdot \frac{1}{6\sqrt{2}} Z_{NC}^{sb} \cdot m_b \bar{s}_L \frac{\lambda^a}{2} \sigma_{\mu\nu} b_R F_G^{a\mu\nu}$$

$$C_{8G}^{NP1}(M_W) = \frac{1}{24} \cdot \frac{Z_{NC}^{sb}}{V_{tb} V_{ts}^*}$$

SM粒子の積分

- ◆ VLQを含まないダイアグラムについてのInami-Lim関数を計算



標準模型の寄与

+

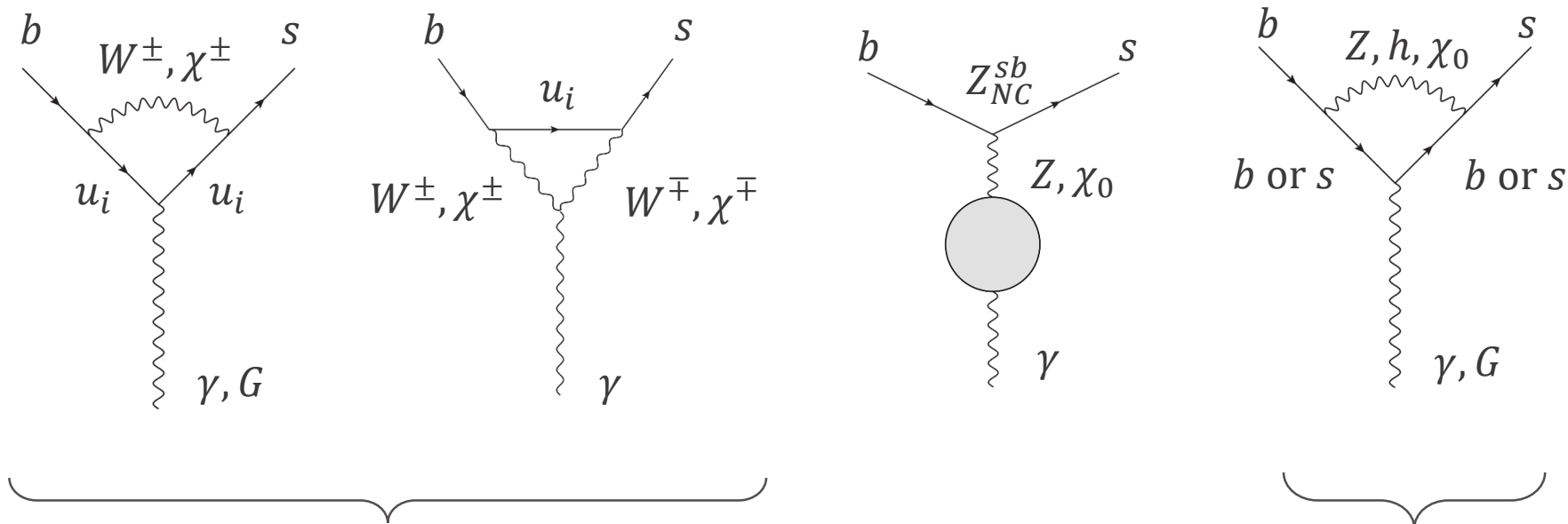
ユニタリティの破れ

$$V_{us}^* V_{ub} + V_{cs}^* V_{cb} + V_{ts}^* V_{tb} \simeq Z_{NC}^{sb}$$

FCNC結合を含む
1-loopダイアグラム

Wilson係数

- ◆ VLQを含まないダイアグラムについてのInami-Lim関数を計算



標準模型の寄与

+

$$C_{7\gamma}^{uv}(M_W) = \frac{1}{3} \left(Q_u + \frac{5}{4} \right) \cdot \frac{Z_{NC}^{sb}}{V_{tb}V_{ts}^*}$$

($\simeq 0.64$)

$$C_{7\gamma}^{NC}(M_W) = \frac{Q_d}{3} (1 - Q_d \sin^2 \theta_w) \cdot \frac{Z_{NC}^{sb}}{V_{tb}V_{ts}^*}$$

($\simeq -0.12$)

ここまでのまとめ

◆ Tree level FCNC

$$\frac{g}{2 \cos \theta_w} (\bar{d}_L, \bar{s}_L, \bar{b}_L) \gamma^\mu \begin{pmatrix} Z_{NC}^{dd} & Z_{NC}^{ds} & Z_{NC}^{db} \\ Z_{NC}^{sd} & Z_{NC}^{ss} & Z_{NC}^{sb} \\ Z_{NC}^{bd} & Z_{NC}^{bs} & Z_{NC}^{bb} \end{pmatrix} \begin{pmatrix} d_L \\ s_L \\ b_L \end{pmatrix} Z_\mu \quad Z_{NC}^{sb} = -\frac{v^2}{2} \cdot \frac{y_d^{s4} y_d^{b4*}}{M_4^2}$$

◆ $b \rightarrow s\gamma$ へ寄与するWilson係数

$$C_{7\gamma}^{NP1}(M_W) = \frac{Q_d}{24} \cdot \frac{Z_{NC}^{sb}}{V_{tb}V_{ts}^*}, \quad C_{7\gamma}^{NP2}(M_W) = C_{7G}^{uv}(M_W) + C_{7\gamma}^{NC}(M_W)$$

◆ $M_4 \rightarrow M_W$ への繰り込み群の効果を考慮しないので

$$C_{7\gamma}^{NP}(M_W) = C_{7\gamma}^{NP1}(M_W) + C_{7\gamma}^{NP2}(M_W)$$

$$C_{8G}^{NP}(M_W) = C_{8G}^{NP1}(M_W) + C_{8G}^{NP2}(M_W)$$

概要

◆ 導入

◆ 有効理論の構築

- $\mu \sim M_{VLQ}$

- $\mu \sim M_W$

◆ B中間子稀崩壊

$\bar{B} \rightarrow X_s \gamma$ ($b \rightarrow s\gamma$), ($B_s \rightarrow \mu^+ \mu^-$ ($\bar{b}s \rightarrow ll$), ユニタリテイの関係)

◆ まとめと展望

$$\bar{B} \rightarrow X_s \gamma, (b \rightarrow s \gamma)$$

◆ **Leading Orderの表式** [A.J.Buras et al. 1993]

$$\frac{\mathcal{B}[\bar{B} \rightarrow X_s \gamma]}{\mathcal{B}[\bar{B} \rightarrow X_c e \bar{\nu}_e]} = \frac{|V_{tb} V_{ts}^*|^2}{|V_{cb}|^2} \cdot \frac{6\alpha_{em}}{\pi f(z)} |C_{7\gamma}^{(0)eff}(m_b)|^2, \quad z = \frac{m_c^2}{m_b^2}$$

$$\eta = \frac{\alpha_s(M_W)}{\alpha_s(m_b)}$$

• Effective Coefficient

$$C_{7\gamma}^{(0)eff}(m_b) = \eta^{\frac{16}{23}} C_{7\gamma}^{(0)}(M_W) + \frac{8}{3} \left(\eta^{\frac{14}{23}} - \eta^{\frac{16}{23}} \right) C_{8G}^{(0)}(M_W) + C_2^{(0)}(M_W) \sum_{i=1}^8 h_i \eta^{a_i}$$

$C_2 : [\bar{c} \gamma_\mu (1 - \gamma_5) b] [\bar{s} \gamma^\mu (1 - \gamma_5) c]$ の係数

◆ **今回はNLOの表式を用いて解析を行う。** [K.Chetyrkin, et al. 1997]



LOに $O(\alpha_s)$ のQCD補正を加える

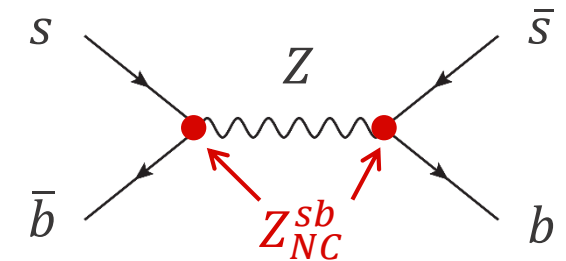
インプットパラメーター

パラメーター	値 [PDG2017]
$\alpha_s(M_Z)$	0.1181 ± 0.0011
$\alpha_{em}^{-1}(m_b \sim M_W)$	130.3 ± 2.3 [K.Chetyrkin, et al. 1997]
$m_{t,pole}$	173.5 ± 1.1 [GeV]
$m_{b,\overline{MS}}(m_b)$	$4.18^{+0.04}_{-0.03}$ [GeV]
$m_{c,\overline{MS}}(m_c)$	1.28 ± 0.03 [GeV]

パラメーター	値 [CKMfitter Group2016]
f_{B_s}	$225.1 \pm 1.5 \pm 2.0$ [MeV]
B_s	$1.320 \pm 0.016 \pm 0.030$
$ V_{us} $	$0.22508^{+0.00030}_{-0.00028}$
$ V_{ub} $	$0.003715^{+0.000060}_{-0.000060}$
$ V_{cs} $	$0.973471^{+0.000067}_{-0.000067}$
$ V_{cb} $	$0.04181^{+0.00028}_{-0.00060}$

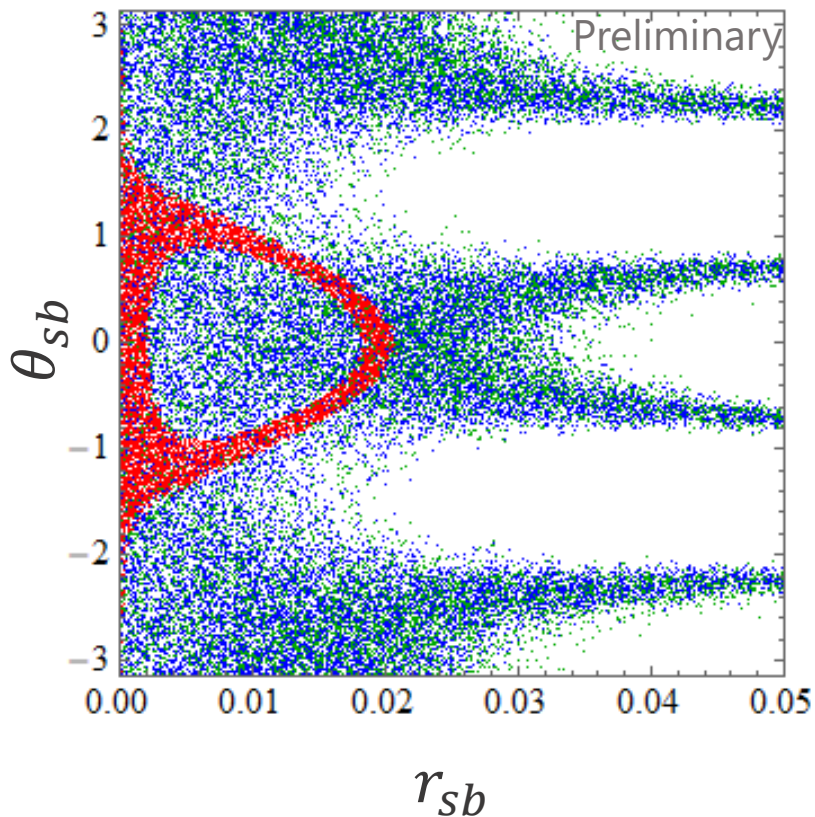
$|V_{tb}V_{ts}^*|$ は ΔM_s を今の
模型で解析し, NPの
パラメータの関数と
して表す.

(新たな寄与の例)

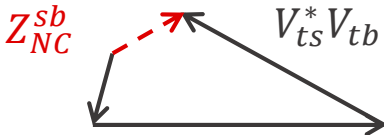


解析結果

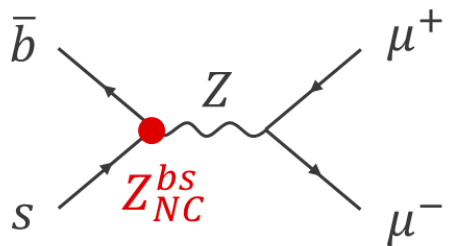
$$r_{sb} \equiv \left| \frac{Z_{NC}^{sb}}{V_{ts}^* V_{tb}} \right|, \quad \theta_{sb} \equiv \arg \left[\frac{Z_{NC}^{sb}}{V_{ts}^* V_{tb}} \right]$$



- 緑 : $\bar{B} \rightarrow X_s \gamma$
 $B[\bar{B} \rightarrow X_s \gamma]_{exp} = (3.32 \pm 0.15) \times 10^{-4}$
[HFLAV 2016]
- 青 : ユニタリティの関係
- 赤 : $B_s \rightarrow \mu^+ \mu^-$
 $B[B_s \rightarrow \mu^+ \mu^-]_{exp} = 2.8_{-0.6}^{+0.7} \times 10^{-9}$
[CMS and LHCb Collaborations 2015]

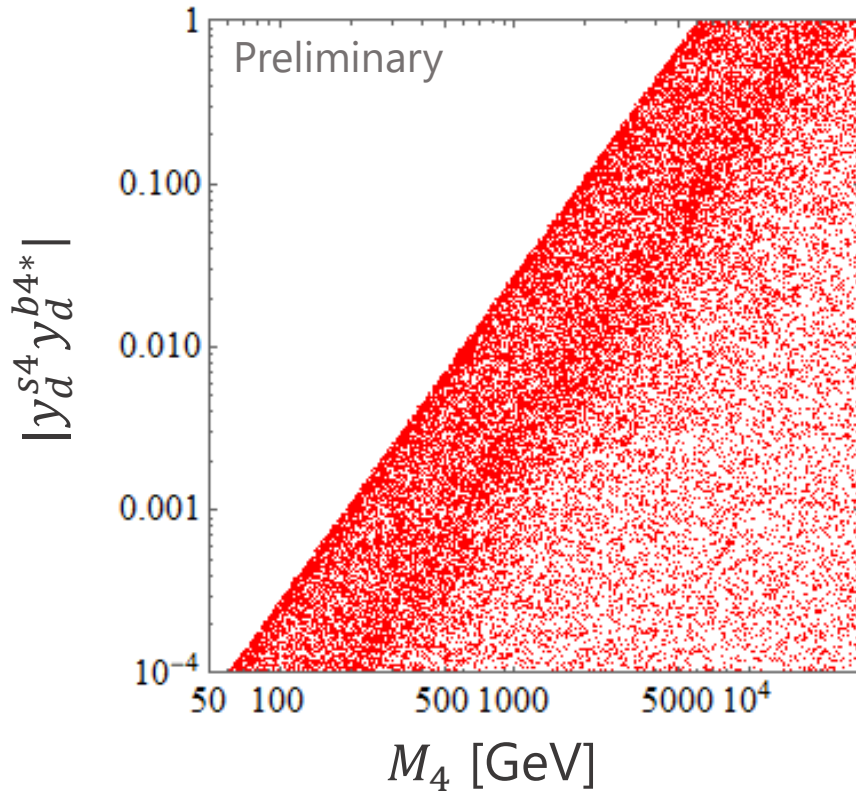


→ $B_s \rightarrow \mu^+ \mu^-$ からの制限が強い



解析結果

- ◆ 制限を満たす $(M_4, |y_d^{s4} y_d^{b4*}|)$ の領域は以下のようになる。



$$Z_{NC}^{sb} = -\frac{v^2}{2} \cdot \frac{y_d^{s4} y_d^{b4*}}{M_4^2}$$

$v \sim 246$ [GeV]

- ・ 赤 : $B_s \rightarrow \mu^+ \mu^-$ の制限を満たす領域

例えば

$$|y_d^{s4} y_d^{b4*}| = O(1) \rightarrow M_4 > 5 \text{ TeV}$$

概要

◆ 導入

◆ 有効理論の構築

- $\mu \sim M_{VLQ}$

- $\mu \sim M_W$

◆ B中間子稀崩壊

$\bar{B} \rightarrow X_s \gamma$ ($b \rightarrow s\gamma$), $B_s \rightarrow \mu^+ \mu^-$, ユニタリテイの関係

◆ まとめと展望

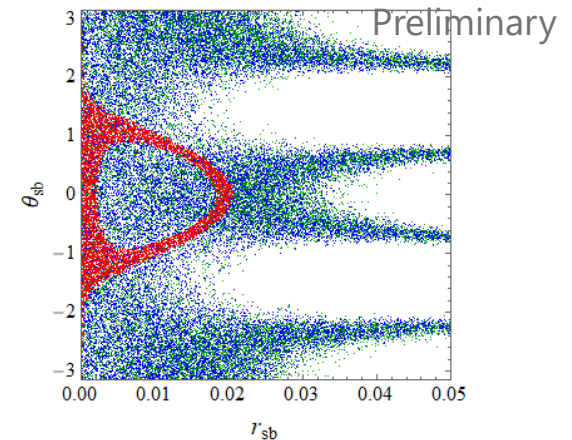
まとめと展望

- ◆ 標準模型に一つのダウンタイプVLQを加える模型を考察.
- ◆ VLQを積分し1-loopレベルで有効理論を構築した.

$$\mathcal{L}_{\text{dipole}}^A = \frac{eG_F}{16\pi^2} \cdot \frac{Q_d}{6\sqrt{2}} Z_{NC}^{sb} \cdot m_b \bar{s}_L \sigma_{\mu\nu} b_R F_A^{\mu\nu}$$

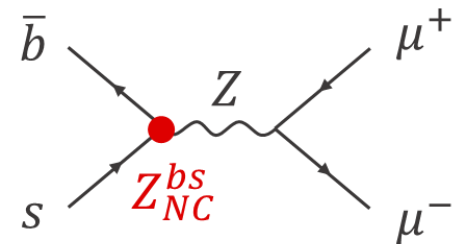
- ◆ $\bar{B} \rightarrow X_s \gamma, B_s \rightarrow \mu^+ \mu^-$ 等からのVLQのパラメータへの制限を得た.

→ ツリーレベルのFCNCのため,
 $B_s \rightarrow \mu^+ \mu^-, (b \rightarrow sll)$ からの制限が強い



まとめと展望

- ◆ $M_4 \rightarrow M_W$ への繰り込み群の効果を考える。
- ◆ $b \rightarrow sll$ 過程である $B \rightarrow X_s ll$ からの制限を調べる。



Back up

有効理論の導出 ($\mu \sim M_4$)

◆ $b \rightarrow s\gamma$ に寄与する有効演算子

演算子

係数

$h_d^{ji} \overline{q_L^j} \sigma^{\mu\nu} (y_d^{il} \phi d_R^l + y_u^{il} \tilde{\phi} u_R^l) F_{B\mu\nu} + h.c.$	$\frac{g'}{16\pi^2 M_4^2} \left(\frac{Y_{qL}}{2} \frac{1}{12} - \frac{Y_{dR}}{2} \frac{1}{8} \right)$
$h_d^{ji} \overline{q_L^j} \frac{\tau^a}{2} \sigma^{\mu\nu} (y_d^{il} \phi d_R^l + y_u^{il} \tilde{\phi} u_R^l) F_{W\mu\nu}^a + h.c.$	$\frac{g}{16\pi^2 M_4^2} \cdot \frac{1}{12}$
$h_d^{ji} \overline{q_L^j} \frac{\lambda^a}{2} \sigma^{\mu\nu} (y_d^{il} \phi d_R^l + y_u^{il} \tilde{\phi} u_R^l) F_{G\mu\nu}^a + h.c.$	$\frac{g_s}{16\pi^2 M_4^2} \left(\frac{1}{12} - \frac{1}{8} \right)$

$$(h_d^{ji} = y_d^{j4} y_d^{i4*})$$

以上の演算子をbroken phaseのものに書き換える。

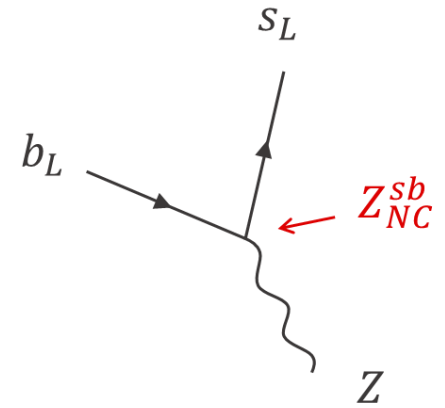
$$\phi = \begin{pmatrix} \chi^+ \\ (v + \sigma + i\chi_0)/\sqrt{2} \end{pmatrix}$$

有効理論の導出 (Broken-Phase)

◆ Tree level の有効演算子から

$$\frac{g}{2 \cos \theta_w} (\bar{d}_L, \bar{s}_L, \bar{b}_L) \gamma^\mu \begin{pmatrix} Z_{NC}^{dd} & Z_{NC}^{ds} & Z_{NC}^{db} \\ Z_{NC}^{sd} & Z_{NC}^{ss} & Z_{NC}^{sb} \\ Z_{NC}^{bd} & Z_{NC}^{bs} & Z_{NC}^{bb} \end{pmatrix} \begin{pmatrix} d_L \\ s_L \\ b_L \end{pmatrix} Z_\mu$$

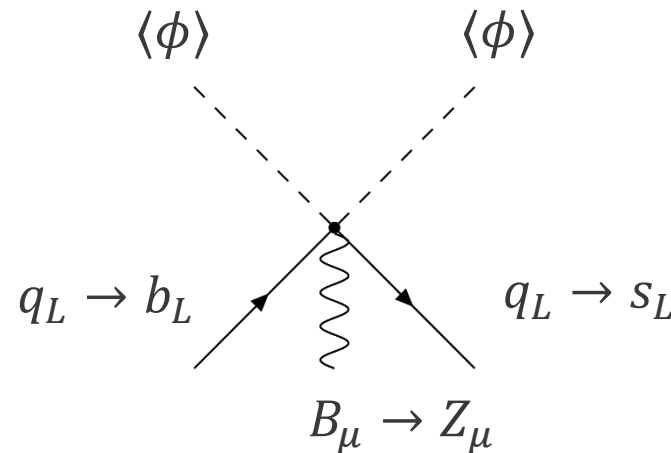
⇒ Z, h, χ_0 に Tree level の FCNC が生じる.



$$Z_{NC}^{sb} = -\frac{v^2}{2} \cdot \frac{y_d^{s4} y_d^{b4*}}{M_4^2}$$

• 有効演算子

$$i \frac{y_d^{j4} y_d^{i4*}}{M_4^2} (\bar{q}_L^i \phi) \not{D}_R^d (\phi^\dagger q_L^j)$$



有効理論の導出 ($\mu \sim M_4$)

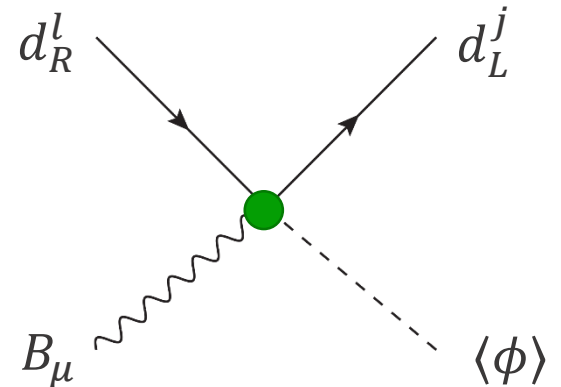
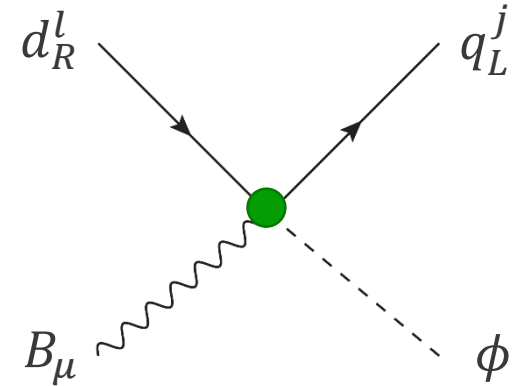
◆ $b \rightarrow s\gamma$ に寄与する有効演算子

$$\frac{g'}{16\pi^2 M_4^2} \left(\frac{Y_{qL}}{24} - \frac{Y_{dR}}{16} \right) h_d^{ji} y_d^{il} \times \bar{q}_L^j \sigma_{\mu\nu} \phi d_R^l F_B^{\mu\nu}$$

真空期待値 $\phi \rightarrow \begin{pmatrix} 0 \\ v \end{pmatrix}$ \dashrightarrow

$$\frac{y_d^{il} v \cdot \bar{d}_L^j \sigma_{\mu\nu} \phi d_R^l F_B^{\mu\nu}}$$

d クォーク質量行列 m_d



◆ FCNC結合を含む1-loopダイアグラムの寄与

$$\mathcal{L}_{\text{dipole}}^{NC} = \frac{eg^2}{64\pi^2 M_W^2} Q_d \sum_{\alpha=d,s,b} [Z_{NC}^{s\alpha} Z_{NC}^{\alpha b} F_{ZZ}(r_\alpha, w_\alpha) + Z_{NC}^{sb} Q_d \sin^2 \theta_w F_Z(r_\alpha, w_\alpha)] m_b \bar{s}_L \sigma_{\mu\nu} b_R F_A^{\mu\nu} \\ - \frac{eg^2}{32\pi^2 M_W^2} Q_d Z_{NC}^{sb} Q_d \sin^2 \theta_w F'_Z(r_b) m_b \bar{s}_L \sigma_{\mu\nu} b_R F_A^{\mu\nu}$$

$$F_{ZZ}(r_\alpha, w_\alpha) \equiv F_1(r_\alpha) + F_2(r_\alpha) + F_3(w_\alpha)$$

$$F_Z(r_\alpha, w_\alpha) \equiv 2F_1(r_\alpha)$$

$$F_1(r_\alpha) \equiv \frac{4 - 9r_\alpha + 5r_\alpha^3 + 6r_\alpha(1 - 2r_\alpha)\ln r_\alpha}{12(1 - r_\alpha)^4}$$

$$F_2(r_\alpha) \equiv r_\alpha \frac{-20 + 39r_\alpha - 24r_\alpha^2 + 5r_\alpha^3 + 6(-2 + r_\alpha)\ln r_\alpha}{24(-1 + r_\alpha)^4}$$

$$F_3(w_\alpha) \equiv -w_\alpha \frac{-16 + 45w_\alpha - 36w_\alpha^2 + 7w_\alpha^3 + 6(-2 + 3w_\alpha)\ln w_\alpha}{24(-1 + w_\alpha)^4}$$

$$F'_Z(r_\alpha) \equiv \frac{1 - r_\alpha^2 + 2r_\alpha \ln r_\alpha}{(1 - r_\alpha)^3}$$

先行研究

[L.T.Handoko, T.Morozumi 1995]

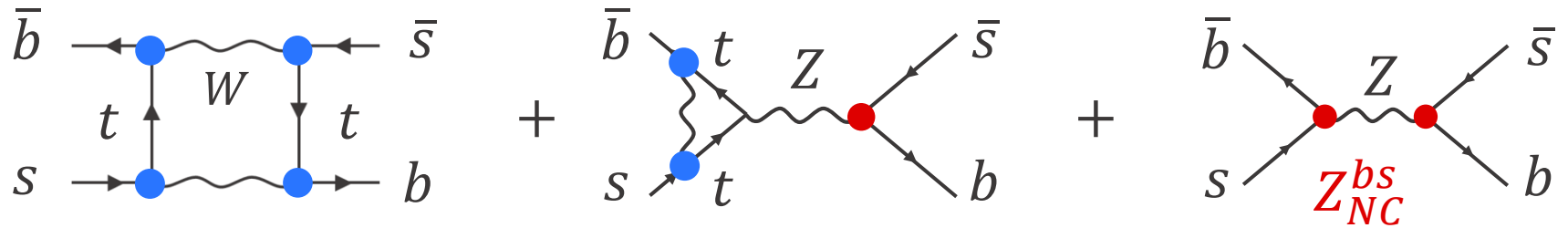
に誤り

$$\left(r_\alpha = \frac{m_\alpha^2}{M_Z^2}, w_\alpha = \frac{m_\alpha^2}{M_h^2} \right)$$

$$\xrightarrow{(m_{s,b}^2 \ll M_{Z,h}^2)} C_{7\gamma}^{NC}(M_W) = \frac{Q_d}{3} (1 - Q_d \sin^2 \theta_w) \cdot \frac{Z_{NC}^{sb}}{V_{tb} V_{ts}^*} \\ (\simeq -0.12)$$

B_s 中間子の質量差 ΔM_{B_s}

- 寄与するダイアグラム



- ΔM_{B_s} は次のように表される.

$$\Delta M_{B_s} = \frac{G_F}{\sqrt{2}} \frac{\alpha}{6\pi \sin^2 \theta_w} \eta_B B_{B_s} f_{B_s}^2 m_{B_s} |S_0(x_t)| |V_{tb} V_{ts}^*|^2 |\Delta_{B_s}(r_{sb}, \theta_{sb})|$$

$$\Delta_{B_s}(r_{sb}, \theta_{sb}) = 1 + O(r_{sb}, \theta_{sb})$$

- $r_{sb} \rightarrow 0$ ($Z_{NC} \rightarrow 0, M_4 \rightarrow \infty$) で標準模型に帰着.

(r_{sb}, θ_{sb}) への制限

● $B_s \rightarrow \mu^+ \mu^-$ の崩壊分岐比

$$\Delta_{B \rightarrow \mu\mu}(r_{sb}, \theta_{sb}) = 1 + O(r_{sb}, \theta_{sb})$$

$$\text{Br}[B_s \rightarrow \mu^+ \mu^-] \propto |V_{tb}^* V_{ts}|^2 |\Delta_{B \rightarrow \mu\mu}(r_{sb}, \theta_{sb})|$$

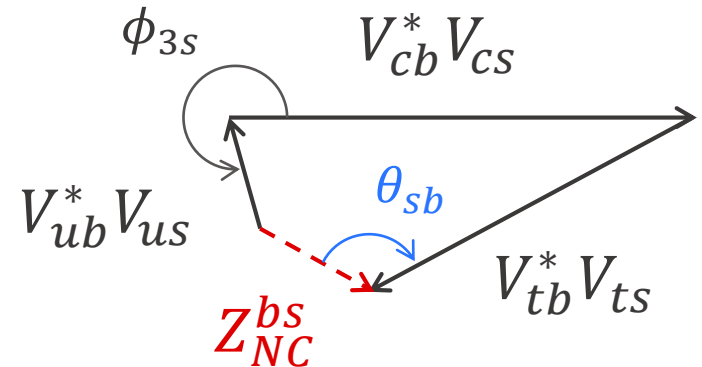
• 実験値 $Br[B_s \rightarrow \mu^+ \mu^-]_{exp} = 2.8_{-0.6}^{+0.7} \times 10^{-9} \quad (1\sigma)$

[V. Khachatryan et al. [CMS and LHCb Collaborations], Nature 522 (2015) 68]

● ユニタリティの関係

$$V_{ub}^* V_{us} + V_{cb}^* V_{cs} + V_{tb}^* V_{ts} \simeq Z_{NC}^{bs}$$

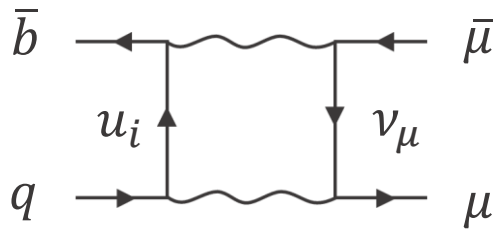
$$-1 \leq \cos \phi_{3s} \leq 1$$



$$\cos \phi_{3s} = \frac{1}{2} \left| \frac{V_{cb}^* V_{cs}}{V_{ub}^* V_{us}} \right| \left\{ 1 + \left| \frac{V_{ub}^* V_{us}}{V_{cb}^* V_{cs}} \right|^2 - \left| \frac{V_{tb}^* V_{ts}}{V_{cb}^* V_{cs}} \right|^2 (1 - 2r_{sb} \cos \theta_{sb} + r_{sb}^2) \right\}$$

4-Fermi Theory

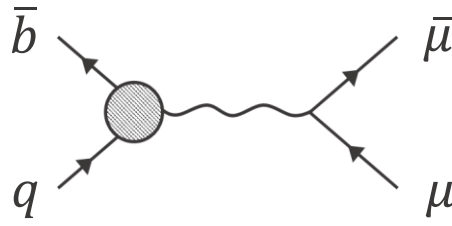
● $B_q \rightarrow \mu^+ \mu^-$



box

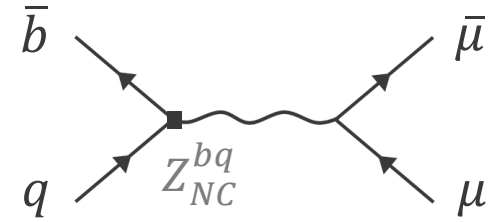
$$O(G_F \times \alpha)$$

SM



SM 1-loop

$$O(G_F \times \alpha)$$



Tree FCNC

$$O\left(G_F \times \frac{Z_{NC}^{bq}}{V_{tb}^* V_{tq}}\right)$$

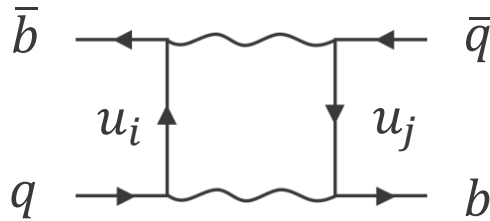
$$Br[B_q \rightarrow \mu^+ \mu^-]$$

$$= \tau_B \frac{1}{16\pi} G_F^2 \left(\frac{\alpha}{\pi \sin^2 \theta_w} \right)^2 |\eta_Y Y_0(x_t)|^2 |f_{B_s}|^2 m_B m_\mu^2 \sqrt{1 - \frac{4m_\mu^2}{m_B^2} |V_{tb}^* V_{tq}|^2} |\Delta_{B \rightarrow \mu\mu}(r_{qb}, \theta_{qb})|^2$$

$$|\Delta_{B \rightarrow \mu\mu}(r_{qb}, \theta_{qb})| = \left\{ 1 - \frac{2\pi \sin^2 \theta_w}{\alpha Y_0(x_t)} r_{qb} \cos \theta_{qb} + \left(\frac{\pi \sin^2 \theta_w}{\alpha Y_0(x_t)} \right)^2 r_{qb}^2 \right\}^{\frac{1}{2}}$$

4-Fermi Theory

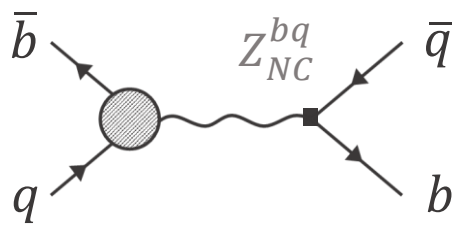
● $B_q - \bar{B}_q$ mixing



box

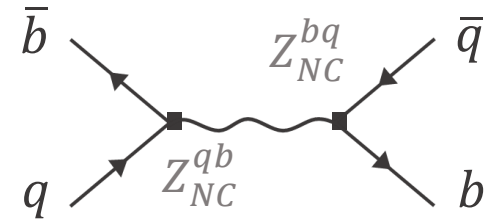
$$O(G_F \alpha) + O(G_F \alpha \times \frac{Z_{NC}}{V_{tb}^* V_{tq}})$$

SM



SM 1-loop+Tree FCNC

$$O(G_F \alpha \times \frac{Z_{NC}}{V_{tb}^* V_{tq}})$$



Tree FCNC

$$O(G_F \times \left(\frac{Z_{NC}}{V_{tb}^* V_{tq}} \right)^2)$$

$$\mathcal{L}_{\Delta F=2} = \frac{G_F}{\sqrt{2}} \frac{\alpha}{4\pi \sin^2 \theta_W} (V_{tb}^* V_{tq})^2 S_0(x_t) [\bar{b}_L \gamma_\mu q_L] [\bar{b}_L \gamma_\mu q_L]$$

$$+ \frac{G_F}{\sqrt{2}} \frac{2\alpha}{\pi \sin^2 \theta_W} Z_{NC}^{bq} V_{tb}^* V_{tq} Y_0(x_t) [\bar{b}_L \gamma_\mu q_L] [\bar{b}_L \gamma_\mu q_L] - \frac{G_F}{\sqrt{2}} (Z_{NC}^{bq})^2 [\bar{b}_L \gamma_\mu q_L] [\bar{b}_L \gamma_\mu q_L]$$

Same as $B_q \rightarrow \mu^+ \mu^-$

$$S_0(x_i) = -\frac{3}{2} \left(\frac{x_i}{x_i - 1} \right)^3 \ln x_i - x_i \left\{ \frac{1}{4} - \frac{9}{4} \frac{1}{x_i - 1} - \frac{3}{2} \frac{1}{(x_i - 1)^2} \right\}$$